

УДК 551.468

ДИНАМИКА БЕРЕГОВОЙ ЭКОГЕОСИСТЕМЫ
ОБЛОМОЧНЫЙ МАТЕРИАЛ-БИОМАССА ДОННОГО БИОЦЕНОЗА

© 1994 г. В. М. Московкин

*Ялтинский отдел Сочинского научно-исследовательского центра
"Управление развитием рекреационных территорий и туризма"*

Поступила в редакцию 17.06.91 г.

Рассматривается линейное уравнение баланса пляжеобразующего материала, в котором коэффициент истираемости этого материала поставлен в линейную зависимость от биомассы донного биоценоза. При этом предполагается, что с увеличением биомассы увеличивается шероховатость дна, а следовательно, уменьшаются подвижность донных наносов и их истираемость. Для замыкания уравнения баланса вводится нелинейное уравнение динамики биомассы, в которое заложен нелинейный механизм саморегулируемого роста биомассы и линейный механизм уменьшения ее прироста при увеличении объема материала в береговой зоне. Полученная динамическая система второго порядка исследуется на предмет возникновения в ней бифуркаций рождения цикла (автоколебательных режимов). Определены условия возникновения автоколебаний и их период для случая, соответствующего данным натурных измерений на одном из участков побережья Черного моря.

Рассмотрим линейное уравнение баланса пляжеобразующего материала [3], в котором дополнительно коэффициент истираемости k этого материала поставим в линейную зависимость от биомассы донного биоценоза:

$$\frac{dW}{dt} = aH\gamma(W_m - W) - \left[C_0 \left(1 - \frac{B}{B_{\max}} \right) + C_{\min} \right] W + u, \quad (1)$$

где W – объем пляжеобразующего материала на единицу длины береговой линии ($0 \leq W \leq W_m$), м²; a – доля пляжеобразующего материала в породах, слагающих берег; H – высота берегового уступа (клифа), м; $\gamma(W_m - W)$ – скорость отступления клифа, м/год, $\gamma = \text{const}$, м⁻¹ год⁻¹; u – интенсивность поступления ($u > 0$) или уноса ($u < 0$) за счет естественных или искусственных факторов, м²/год; B – биомасса донного биоценоза на абразионной отмели (шельфе), т/м ($0 \leq B \leq B_{\max}$); $C_0, C_{\min} = \text{const}$, год⁻¹; $k(B) = C_0(1 - B/B_{\max}) + C_{\min}$ – коэффициент истираемости материала, год⁻¹; t – время, год.

Предполагалось, что с увеличением биомассы донного биоценоза увеличивается шероховатость дна, а следовательно, уменьшаются подвижность донных наносов и их истираемость. Это наиболее простой вариант уравнения баланса пляжеобразующего материала с линейными по B и W функциями. Для замыкания уравнения (1) введем нелинейное уравнение динамики биомассы донного биоценоза

$$dB/dt = K_1 B (1 - B/B_{\max}) - K_2 W, \quad (2)$$

в основу которого положены следующие экологические и литодинамические особенности рассматриваемого процесса:

саморегулируемый рост биомассы, описываемый уравнением Ферхюльста (при $K_2 = 0$), решением которого является выпукло-вогнутая логистическая кривая, выходящая на стационарный уровень;

уменьшение прироста биомассы при увеличении объема материала (он способствует угнетению и деградации донного биоценоза).

Переходя к безразмерным переменным ($t' = K_1 t$, $B' = B/B_{\max}$, $W' = W/W_m$), получаем следующую нелинейную динамическую систему второго порядка:

$$\begin{aligned} dW'/dt' &= -\bar{K}_1 W' + \bar{K}_2 B' W' + \bar{K}_3, \\ dB'/dt' &= B'(1 - B') - \bar{K}_4 W', \end{aligned} \quad (3)$$

где $K_1 = (aH\gamma + C_0 + C_{\min})/K_1 > 0$, $\bar{K}_2 = C_0/\bar{K}_1 > 0$, $\bar{K}_3 = aH\gamma/K_1 + u/K_1 W_m \geq 0$, $\bar{K}_4 = K_2 W_m / K_1 B_{\max} > 0$.

Координаты особых точек системы (3) определяются из выражений

$$\begin{aligned} W_*' &= B_*' (1 - B_*') / \bar{K}_4, \\ B_*' &= (\bar{K}_1 W_*' - \bar{K}_3) / \bar{K}_2 W_*', \end{aligned} \quad (4)$$

где $0 \leq B_*' \leq (\bar{K}_1 - 4\bar{K}_3\bar{K}_4) / \bar{K}_2$, $0 \leq W_*' \leq 1/4\bar{K}_4$, $0 \leq \bar{K}_3/\bar{K}_1 \leq W_*' \leq \bar{K}_3/(\bar{K}_1 - \bar{K}_2) \leq 1$. Значения W_*'

через параметры системы (3) определяются с помощью кубического уравнения

$$(W'_*)^3 + \frac{\tilde{K}_1(\tilde{K}_1 - \tilde{K}_2)}{\tilde{K}_2\tilde{K}_4} (W'_*)^2 + \frac{(\tilde{K}_2 - 2\tilde{K}_1)\tilde{K}_3}{\tilde{K}_2\tilde{K}_4} W'_* + \frac{\tilde{K}_3^2}{\tilde{K}_2\tilde{K}_4} = 0, \quad (5)$$

из которого может быть получено первое бифуркационное множество для точек седлового типа [1].

Матрица линеаризованной системы (3) имеет вид

$$A = \begin{bmatrix} -\tilde{K}_1 + \tilde{K}_2 B'_* & \tilde{K}_2 W'_* \\ -\tilde{K}_4 & 1 - 2B'_* \end{bmatrix}. \quad (6)$$

Второе бифуркационное множество (граница устойчивости узлов и фокусов) находится из условия приравнивания нулю следа матрицы A [1] (первое бифуркационное множество определяется также из условия $\det A = 0$ [1]):

$$\text{tr} A = 1 - \tilde{K}_1 - 2B'_* + \tilde{K}_2 B'_* = 0, \quad (7)$$

откуда

$$0 \leq B'_* = (\tilde{K}_1 - 1)/(\tilde{K}_2 - 2) \leq 1, \quad (8)$$

$$\det A = - \left(\frac{\tilde{K}_2 - 2\tilde{K}_1}{\tilde{K}_2 - 2} \right)^2 + \frac{\tilde{K}_2(\tilde{K}_1 - 1)(\tilde{K}_2 - \tilde{K}_1 - 1)}{(\tilde{K}_2 - 2)^2}. \quad (9)$$

Из выражений (4), (8) получим бифуркационный параметр \tilde{K}_{46} , при котором происходит бифуркация рождения цикла ($\text{tr} A = 0, \det A > 0$):

$$\tilde{K}_{46} = \frac{(\tilde{K}_1 - 1)(\tilde{K}_2 - \tilde{K}_1 - 1)(\tilde{K}_2 - 2\tilde{K}_1)}{\tilde{K}_3(\tilde{K}_2 - 2)^3}. \quad (10)$$

Анализ выражений, описывающих \tilde{K}_1 и \tilde{K}_2 , показывает, что $\tilde{K}_1 > \tilde{K}_2$. Отсюда с учетом ограничений (8) получим $0 \leq \tilde{K}_1 \leq 1, 0 \leq \tilde{K}_2 \leq 2, \tilde{K}_2 < 1 + \tilde{K}_1$. Объединяя эти неравенства, имеем $0 \leq \tilde{K}_2 \leq \tilde{K}_1 \leq 1$ (треугольная область). С учетом последних неравенств и положительности параметра (10) получим, что $\tilde{K}_3 > 0$.

Критерий устойчивости Марсдена и Мак-Крэнена получим в виде [2]

$$V'''(0) = \frac{3\pi\tilde{A}}{2\tilde{\gamma}^3} (2 + \tilde{K}_2 - \tilde{K}_2^2) \left(1 + \frac{\tilde{A}^2}{\tilde{\gamma}^2} \right), \quad (11)$$

где

$$\tilde{A} = (\tilde{K}_2 - 2\tilde{K}_1)/(\tilde{K}_2 - 2) > 0,$$

$$\tilde{\gamma} = \frac{\sqrt{\tilde{K}_2(\tilde{K}_1 - 1)(\tilde{K}_2 - \tilde{K}_1 - 1) - (\tilde{K}_2 - 2\tilde{K}_1)^2}}{2 - \tilde{K}_2} > 0.$$

Отсюда видно, что $V'''(0) > 0$, и, следовательно, имеется неустойчивый предельный цикл.

Условие

$$\det A > 0 \Leftrightarrow \tilde{K}_2(\tilde{K}_1 - 1)(\tilde{K}_2 - \tilde{K}_1 - 1) - (\tilde{K}_2 - 2\tilde{K}_1)^2 = (\tilde{K}_2 - \tilde{K}_1)\tilde{K}_1(4 + \tilde{K}_2) + \tilde{K}_2(1 - 2\tilde{K}_2) > 0$$

приводит к неравенству

$$\tilde{K}_2^2 + \frac{\tilde{K}_2(4\tilde{K}_1 - \tilde{K}_1^2 + 1)}{\tilde{K}_1 - 2} - \frac{4\tilde{K}_1^2}{\tilde{K}_1 - 2} < 0, \quad (12)$$

решение которого имеет вид

$$\frac{-(4\tilde{K}_1 - \tilde{K}_1^2 + 1) + \sqrt{D}}{2(\tilde{K}_1 - 2)} < \tilde{K}_2 < \frac{-(4\tilde{K}_1 - \tilde{K}_1^2 + 1) - \sqrt{D}}{2(\tilde{K}_1 - 2)}, \quad (13)$$

где D — детерминант левой части (12).

Границы интервала (13) положительны, так как $0 \leq \tilde{K}_1 \leq 1$. Область (13) в треугольнике $0 \leq \tilde{K}_2 \leq \tilde{K}_1 \leq 1$ представлена заштрихованным сегментом (рисунок)

$$\frac{-(4\tilde{K}_1 - \tilde{K}_1^2 + 1) + \sqrt{D}}{2(\tilde{K}_1 - 2)} < \tilde{K}_2 < \tilde{K}_1, \quad (14)$$

проекция которого на оси координат равны: $0 < \tilde{K}_1, \tilde{K}_2 < 1/2$.

Для возникновения бифуркации рождения цикла необходимо, чтобы бифуркационная кривая (10) проходила через сегмент (14).

Приближенные аналитические характеристики предельного цикла могут быть получены согласно [4]. В обозначениях этой работы выражения, необходимые для приближенного анали-

тического представления предельного цикла, имеют вид

$$\operatorname{Re} C_1(0) = \frac{\bar{A}}{8\bar{\gamma}^2} (2 + \bar{K}_2 - \bar{K}_2^2) \left(1 + \frac{\bar{A}}{\bar{\gamma}^2} \right), \quad (15)$$

$$\operatorname{Im} C_1(0) = -\frac{(\bar{K}_2 + 1)}{8\bar{\gamma}^3} (4\bar{A}^2 + \bar{\gamma}^2 + 3\bar{A}^2\bar{K}_2) - \frac{1}{24}(\bar{K}_2 + 1)^2 \left(1 + \frac{2\bar{A}}{\bar{\gamma}^2} + \frac{10\bar{A}}{\bar{\gamma}^4} \right) < 0, \quad (16)$$

$$\alpha'(0) = \frac{d\alpha}{d\lambda} \Big|_{\lambda=\lambda_0} = \frac{-(\bar{K}_2 - 2)^3}{2\bar{K}_3 [\bar{K}_1(\bar{K}_2 - \bar{K}_1)(4 + \bar{K}_2) + \bar{K}_2(1 - 2\bar{K}_2)]} > 0, \quad (17)$$

где $\alpha = \operatorname{Re} \lambda_1 = (1/2)\operatorname{tr} A$ определяется с помощью выражения (7), $\lambda_1 = \bar{\lambda}_2 = \alpha + i\omega$, $\omega = (1/2)\sqrt{4\det A - (\operatorname{tr} A)^2} > 0$, $\lambda = \bar{K}_4$, $\lambda_0 = \bar{K}_{46}$ - с помощью выражения (10),

$$\omega'(0) = \frac{d\omega}{d\lambda} \Big|_{\lambda=\lambda_0} = -(\bar{K}_2 - 2)^2 \{ [\bar{K}_1(\bar{K}_2 - \bar{K}_1)(4 + \bar{K}_2) + \bar{K}_2(1 - 2\bar{K}_2)] \bar{K}_2(\bar{K}_3 - 1) - (3 + \bar{K}_2) \times (\bar{K}_2 - 2\bar{K}_1^2) \} / \bar{K}_3(\bar{K}_2 - 2\bar{K}_1) [\bar{K}_1(\bar{K}_2 - \bar{K}_1) \times (4 + \bar{K}_2) + \bar{K}_2(1 - 2\bar{K}_2)]^{3/2} \quad (18)$$

(при $0 \leq \bar{K}_3 \leq 1$ имеем $\omega'(0) < 0$),

$$\mu_2 = -\operatorname{Re} C_1(0) / \alpha'(0) < 0, \quad (19)$$

$$\beta_2 = 2\operatorname{Re} C_1(0) > 0, \quad (20)$$

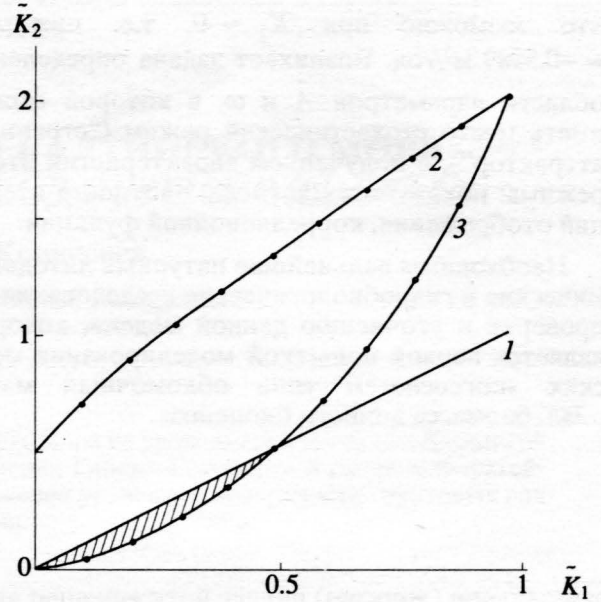
$$\tau_2 = -(1/\omega_0) \times [\operatorname{Im} C_1(0) - \operatorname{Re} C_1(0)\omega'(0) / \alpha'(0)]. \quad (21)$$

Тогда период предельного цикла определяется с помощью выражения

$$T = (2\pi/\omega_0)(1 + \tau_2\varepsilon^2 + 0(\varepsilon^4)), \quad (22)$$

где $\omega_0 = \bar{\gamma}$, $\varepsilon^2 = (\lambda - \lambda_0) / \mu_2 + 0(\lambda - \lambda_0)^2$.

Амплитуда колебаний пропорциональна ε . Так как $\mu_2 < 0$, то периодическое решение существует при $\lambda < \lambda_0$ (докритическая бифуркация). С учетом того что показатель Флоке $\beta = \beta_2\varepsilon^2 + 0(\varepsilon^4)$



Условия, необходимые для возникновения бифуркации Хопфа.
1 - прямая $\bar{K}_2 = \bar{K}_1$, 2 и 3 - соответственно графики правой и левой частей неравенства (13).

больше нуля, имеем неустойчивый предельный цикл. Это соответствует критерию Марседана и Мак-Кракена [2]. Само периодическое решение с точностью до выбора начальной фазы может быть легко записано по предложенной в работе [4] процедуре.

Для реальных значений исходных размерных параметров $C_0 = 0.05 \text{ год}^{-1}$, $C_{\min} = 0.01 \text{ год}^{-1}$ (истирание гальки от 1 до 6% в год), $a = 0.02$, $\gamma = 1/3 \text{ м}^{-1} \text{ год}^{-1}$, $H = 3 \text{ м}$, $W_m = 30 \text{ м}^2$ (условия рыхлых глинистых пород в районе м. Бурнас, Черное море), $K_1 = 0.6 \text{ год}^{-1}$ (прирост биомассы в отсутствие обломочного материала при малых значениях биомассы B составляет 60% в год) получим по формуле (10) $\bar{K}_{46} = 0.02369/\bar{K}_3 > 0$. С учетом того что $\bar{K}_3 > 0$, получим $u > -0.5989 \text{ м}^2/\text{год}$. Таким образом, бифуркация рождения цикла возникает здесь при подпитке материала или его уносе (изъятии) с интенсивностью $< 0.6 \text{ м}^2/\text{год}$. Отметим, что точка $(\bar{K}_1, \bar{K}_2) = (0.13333; 0.08333)$ находится в сегменте (14). При $\bar{K}_1 \approx 0.5 - 0.6 \text{ год}^{-1}$, когда \bar{K}_1 и \bar{K}_2 лежат в сегменте (14), получим $\bar{\gamma} \approx 0.1 - 0.2$. Тогда при $\varepsilon^2 \approx 0$ размерный период колебаний составит $T = 2\pi/\bar{\gamma}K_1 \approx 50 - 100 \text{ лет}$.

Стохастический режим может возникнуть при малом периодическом возмущении бифуркационного параметра [1]:

$$\bar{K}_4(t') = 0.02369/\bar{K}_3 + \bar{A} \sin \omega t', \quad 0.02369/\bar{K}_3 \gg \bar{A},$$

что возможно при $\bar{K}_3 \approx 0$, т.е. при $u \approx -0.5989$ м²/год. Возникает задача определения области параметров \bar{A} и ω , в которой может иметь место стохастический режим (“странный аттрактор”), с получением характеристик этого режима: показателя Ляпунова, плотности итераций отображения, корреляционной функции.

Необходимы дальнейшие натурные литодинамические и гидробиологические исследования по проверке и уточнению данной модели, которая является первой попыткой моделирования морских экогеосистем типа обломочный материал-биомасса донного биоценоза.

СПИСОК ЛИТЕРАТУРЫ

1. Бутенин Н.В., Наймарк Ю.И., Фуфаев Н.А. Введение в теорию нелинейных колебаний. М.: Наука, 1987. 384 с.
2. Марсден Дж., Мак-Кракен М. Бифуркация рождения цикла и ее приложения. М.: Мир, 1980. 386 с.
3. Московкин В.М., Есин Н.В. // ДАН СССР. 1985. Т. 284. № 3. С. 731 - 734.
4. Хэссард Б., Казаринов Н., Вэн И. Теория и приложения бифуркации рождения цикла. М.: Мир, 1985. 280 с.